

# 两个三环己基锡芳香羧酸酯的合成、结构、热稳定性及体外抗癌活性研究

庾江喜 冯泳兰 邝代治\* 张复兴 蒋伍玖 朱小明

(功能金属有机材料湖南省普通高等学校重点实验室,衡阳师范学院化学与材料科学系,衡阳 421008)

**摘要:** 甲醇中三环己基氢氧化锡分别与呋喃-2-甲酸、2,4,6-三甲基苯甲酸反应,合成了2个三环己基锡芳香羧酸酯 $Cy_3SnO_2CC_4H_3O$ (**1**)和 $Cy_3SnO_2CC_6H_2Me_3$ (**2**)(Cy为环己基)。通过IR、 $^1H$ 和 $^{13}C$ NMR、元素分析及X-射线单晶衍射表征结构。**1**和**2**均属单斜晶系,配合物**1**空间群 $P2_1$ ,晶体学参数: $a=0.823\ 04(2)\ nm$ , $b=1.111\ 19(3)\ nm$ , $c=1.283\ 90(3)\ nm$ , $\beta=101.090(2)^\circ$ , $Z=2$ , $V=1.152\ 27(5)\ nm^3$ , $D_c=1.381\ g\cdot cm^{-3}$ , $\mu(Mo\ K\alpha)=1.127\ mm^{-1}$ , $F(000)=496$ , $R_1=0.052\ 9$ , $wR_2=0.138\ 7$ 。配合物**2**空间群 $P2_1/c$ ,晶体学参数: $a=0.999\ 62(2)\ nm$ , $b=1.415\ 97(2)\ nm$ , $c=1.973\ 59(3)\ nm$ , $\beta=94.042\ 0(10)^\circ$ , $Z=4$ , $V=2.786\ 53(8)\ nm^3$ , $D_c=1.266\ g\cdot cm^{-3}$ , $\mu(Mo\ K\alpha)=0.937\ mm^{-1}$ , $F(000)=1\ 112$ , $R_1=0.0540$ , $wR_2=0.161\ 9$ 。配合物(**1**)和(**2**)的中心锡原子均为畸变四面体构型。通过分子间氢键作用,配合物(**1**)形成二维网状结构。试验表明,配合物**1**和**2**具有良好的热稳定性,对人癌细胞Colo205、HepG2、MCF-7、Hela、NCI-H460增殖均有较强的抑制作用。

**关键词:** 三环己基锡芳香羧酸酯;合成;晶体结构;抗癌活性

**中图分类号:** O614.43<sup>+2</sup>    **文献标识码:** A    **文章编号:** 1001-4861(2014)06-1267-06

**DOI:** 10.11862/CJIC.2014.116

## Synthesis, Crystal Structure, Thermal Stability and Anti-tumor Activity *in vitro* of Two Tricyclohexyltin Aromatic Carboxylates

YU Jiang-Xi FENG Yong-Lan KUANG Dai-Zhi\* ZHANG Fu-Xing JIANG Wu-Jiu ZHU Xiao-Ming  
(Key Laboratory of Functional Organometallic Materials of College of Hunan Province, Department of Chemistry and Material Science,  
Hengyang Normal University, Hengyang, Hunan 421008, China)

**Abstract:** Two tricyclohexyltin aromatic carboxylates  $Cy_3SnO_2CC_4H_3O$ (**1**) and  $Cy_3SnO_2CC_6H_2Me_3$ (**2**) were synthesized by the reactions of 2-furancarboxylic acid and 2,4,6-trimethylbenzoic acid with tricyclohexyltin hydroxide, respectively. The two complexes were characterized by IR,  $^1H$  and  $^{13}C$  NMR, elemental analysis and X-ray crystal diffraction. The crystal of complex **1** belongs to monoclinic system, space group  $P2_1$ ,  $a=0.823\ 04(2)\ nm$ ,  $b=1.111\ 19(3)\ nm$ ,  $c=1.283\ 90(3)\ nm$ ,  $\beta=101.090(2)^\circ$ ,  $Z=2$ ,  $V=1.152\ 27(5)\ nm^3$ ,  $D_c=1.381\ g\cdot cm^{-3}$ ,  $\mu(Mo\ K\alpha)=1.127\ mm^{-1}$ ,  $F(000)=496$ ,  $R_1=0.052\ 9$ ,  $wR_2=0.138\ 7$ . The crystal of complex **2** belongs to monoclinic system, space group  $P2_1/c$ ,  $a=0.999\ 62(2)\ nm$ ,  $b=1.415\ 97(2)\ nm$ ,  $c=1.973\ 59(3)\ nm$ ,  $\beta=94.042\ 0(10)^\circ$ ,  $Z=4$ ,  $V=2.786\ 53(8)\ nm^3$ ,  $D_c=1.266\ g\cdot cm^{-3}$ ,  $\mu(Mo\ K\alpha)=0.937\ mm^{-1}$ ,  $F(000)=1\ 112$ ,  $R_1=0.0540$ ,  $wR_2=0.161\ 9$ . The tin atoms of complex **1** and **2** are distorted tetrahedral configuration, a 2D structure of complex **1** is formed by intermolecular hydrogen bonds. The tests showed the two complexes displayed good thermal stability and strong *in vitro* anti-tumor activity against five human tumor cell lines, Colo205, HepG2, MCF-7, Hela and NCI-H460. CCDC: 832549, **1**; 809068, **2**.

**Key words:** tricyclohexyltin aromatic carboxylate; synthesis; crystal structure; anti-tumor activity

收稿日期:2013-08-24。收修改稿日期:2013-11-11。

湖南省自然科学基金(No.13JJ3112),湖南省科技计划(No.2013TZ2025),湖南省高校创新平台开放基金(No.13K105)和教育厅一般项目(No.12C0537),衡阳市科技计划(No.2011KG56, 2012KJ30),衡阳师范学院协同创新中心培育项目(No.12XT02)及衡阳师范学院青年骨干教师培养计划(2012)基金资助。

\*通讯联系人。E-mail:hnkcq@qq.com;会员登记号:S06N8374M1012。

## 0 前言

有机锡化合物具有较高的生物活性，在杀虫、杀菌、抗癌药物制备等领域应用前景广阔<sup>[1-3]</sup>。研究表明，锡原子连接的烃基种类、数目及配体，对有机锡化合物的抗癌活性<sup>[4-5]</sup>、毒性<sup>[6-7]</sup>以及水溶性<sup>[8-9]</sup>有着重要影响。近年来，人们在有机锡化合物的烃基改造、配体筛选等方面开展了大量工作<sup>[1,10-11]</sup>。有机锡羧酸酯往往具有比其前体更高的生物活性<sup>[12-13]</sup>，利用有机羧酸与有机锡氧(卤)化物反应，合成有机锡羧酸酯，成为当前有机锡化学研究的热点。Sherman 建议用长链烷基、芳基、环烷基锡代替短链烃基锡，以获得低毒、高效的有机锡抗癌剂<sup>[14]</sup>；田来进等发现，环己基锡羧酸酯的抗癌活性比相应的正丁基锡、苯基锡羧酸酯高<sup>[15]</sup>。鉴于此，我们以三环己基氢氧化锡分别与呋喃-2-甲酸、2,4,6-三甲基苯甲酸反应，合成了两个未见文献报道的三环己基锡芳香羧酸酯，并对其进行了热稳定性和体外抗癌活性测试。

## 1 实验部分

### 1.1 仪器和试剂

三环己基氢氧化锡为化学纯，购自浙江华兴农药有限公司。呋喃-2-甲酸和2,4,6-三甲基苯甲酸为化学纯，购自国药集团化学试剂有限公司。卡铂(99%)、氘代氯仿  $X_D \geq 99.8\%$  购自百灵威科技有限公司，其余试剂为分析纯。二甲基亚砜(DMSO)购自天津市科密欧化学试剂厂，甲醇购自中国·天津市巴斯夫化工有限公司。人结肠癌细胞(Colo205)、人肝癌细胞(HepG2)、人乳腺癌细胞(MCF-7)、人宫颈癌细胞(HeLa)、人肺癌细胞(NCI-H460)细胞株取自美国模式培养物集存库(ATCC)，含10%胎牛血清的RPMI-1640培养基购自美国Gibco公司，胰蛋白酶(Trypsin)购自甘肃金盛生化制药有限公司。

熔点用X4双目体视显微熔点测定仪(北京泰克仪器有限公司)测定，温度计未经校正。C、H含量用PE-2400(II)元素分析仪(美国PE公司)测定。红外光谱用IR Prestige-21红外光谱仪(日本Shimadzu公司, 4 000~400 cm<sup>-1</sup>)测定。核磁共振氢谱、碳谱分别用Bruker Avance 500和Bruker Avance 400核磁共振仪(瑞士Bruker公司,TMS为内标)测定。热重分析于TGA Q50热重分析仪(美国TA仪器公司)上进行。

### 1.2 化合物的合成

50 mL圆底烧瓶中，加入1 mmol呋喃-2-甲酸或

1 mmol 2,4,6-三甲基苯甲酸，1 mmol三环己基氢氧化锡，甲醇20 mL，搅拌回流反应6 h。反应完成后，旋转蒸发除去溶剂，固体用体积比1:1的苯-乙醇溶剂重结晶，得化合物**1**或**2**。

(1) 无色透明晶体0.305 g，产率63.7%。m.p.: 150~151 °C。元素分析(C<sub>23</sub>H<sub>36</sub>O<sub>3</sub>Sn)，理论值(%): C 57.64, H 7.57；实测值(%): C 57.61, H 7.56。IR (KBr, cm<sup>-1</sup>): 2 916 (s), 2 845 (s), 1 624 (m), 1 578 (m), 1 479 (m), 1 445 (m), 1 389 (w), 1 337 (s), 1 229 (w), 1 188 (m), 1 132 (w), 1 076 (w), 1 042 (w), 991 (m), 930 (w), 883 (w), 841 (w), 810 (m), 777 (m), 770 (m), 665 (w), 645 (w), 600 (w), 581 (w), 473 (w), 419 (w)。<sup>1</sup>H NMR (CDCl<sub>3</sub>, 500MHz), δ (ppm): 7.51 (d, *J* = 1.5 Hz, 1H, 5-Ar-H), 7.08 (d, *J* = 3.5 Hz, 1H, 3-Ar-H), 6.45 (dd, *J* = 3.5, 1.5 Hz, 1H, 4-Ar-H), 1.30~2.01 (m, 33H, Cy-H)。<sup>13</sup>C NMR (CDCl<sub>3</sub>, 100 MHz), δ (ppm): 26.92, 28.96, 31.13, 34.27 (Cy-C), 111.45 (4-Ar-C), 116.70 (3-Ar-C), 145.25 (2-Ar-C), 146.82 (5-Ar-C), 163.26 (-COO)。

(2) 无色透明晶体0.330 g，收率62.1%。m.p.: 109~110 °C。元素分析(C<sub>28</sub>H<sub>44</sub>O<sub>2</sub>Sn)，理论值(%): C 63.29, H 8.35；实测值(%): C 63.32, H 8.32。IR (KBr, cm<sup>-1</sup>): 2 916 (s), 2 847 (s), 1 636 (s), 1 558 (w), 1 506 (w), 1 447 (m), 1 319 (s), 1 169 (w), 1 101 (w), 1 038 (w), 991 (w), 907 (w), 880 (w), 856 (w), 829 (w), 793 (w), 733 (w), 621 (w), 571 (w), 507 (w), 444 (w), 419 (w)。<sup>1</sup>H NMR (CDCl<sub>3</sub>, 500MHz), δ (ppm): 6.83 (s, 2H, 3,5-Ar-H), 2.36 (s, 6H, 2,6-Ar-CH<sub>3</sub>), 2.35 (s, 3H, 4-Ar-CH<sub>3</sub>), 1.31~2.01 (m, 33H, Cy-H)。<sup>13</sup>C NMR (CDCl<sub>3</sub>, 100 MHz), δ (ppm): 20.49 (2,6-Ar-CH<sub>3</sub>), 21.04 (4-Ar-CH<sub>3</sub>), 26.99, 29.03, 31.32, 34.14 (Cy-C), 128.48, 133.05, 135.06, 138.06 (Ar-C), 175.00 (-COO)。

### 1.3 晶体结构测定

分别选取尺寸为0.29 mm×0.25 mm×0.21 mm(**1**)和0.23 mm×0.21 mm×0.15 mm(**2**)的晶体，在Bruker SMART APEX II CCD单晶衍射仪上，采用经石墨单色化的Mo Kα射线( $\lambda=0.071073\text{ nm}$ )，于296(2) K，以 $\varphi$ - $\omega$ 扫描方式收集衍射数据。配合物**1**在 $2.44^\circ \leq \theta \leq 27.42^\circ$ 范围内共收集10 219个衍射点，其中独立衍射点4 993个( $R_{\text{int}}=0.022\ 3$ )，用于结构精修的可观察衍射点3 754个( $I > 2\sigma(I)$ )；配合物**2**在 $1.77^\circ \leq \theta \leq 25.00^\circ$ 范围内共收集20 805个衍射点，其中独立衍射点4 873个( $R_{\text{int}}=0.022\ 1$ )，用于结构精修的可观察衍射点3 805个( $I > 2\sigma(I)$ )。全部数据经Lp因子和多重

扫描吸收校正。晶体结构由直接法解出,全部非氢原子坐标在差值 Fourier 合成中陆续确定,氢原子由理论加氢法给出在晶胞中的位置坐标。对氢原子和非氢原子分别采用各向同性和各向异性热参数进行全

矩阵最小二乘法修正。晶体结构中的无序部分参照文献<sup>[16-17]</sup>处理。全部结构分析计算工作采用 SHELXL-97 程序完成。配合物的晶体学数据列于表 1。

CCDC:832549,1;809068,2。

表 1 配合物(1)和(2)的晶体学数据  
Table 1 Crystal data of complex (1) and (2)

| Complex   | 1   | 2   |
|---|---|---|
| Empirical formula                                   | C <sub>23</sub> H <sub>36</sub> O <sub>3</sub> Sn               | C <sub>28</sub> H <sub>44</sub> O <sub>2</sub> Sn               |
| Formula weight                                      | 479.21  | 531.32  |
| Temperature / K                                     | 296(2)  | 296(2)  |
| Crystal system                                      | Monoclinic  | Monoclinic  |
| Space group   | P2 <sub>1</sub>   | P2 <sub>1</sub> /c  |
| <i>a</i> / nm                                       | 0.823 04(2)   | 0.999 62(2)   |
| <i>b</i> / nm                                       | 1.111 19(3)   | 1.415 97(2)   |
| <i>c</i> / nm                                       | 1.283 90(3)   | 1.973 59(3)   |
| $\beta$ / (°)                                       | 101.090(2)  | 94.042 0(10)  |
| <i>V</i> / nm <sup>3</sup>                          | 1.152 27(5)   | 2.786 53(8)   |
| <i>Z</i>  | 2   | 4   |
| <i>D<sub>c</sub></i> / (g·cm <sup>-3</sup> )        | 1.381   | 1.266   |
| Absorption coefficient / mm <sup>-1</sup>           | 1.127   | 0.937   |
| <i>F</i> (000)                                      | 496   | 1112  |
| Crystal size / mm                                   | 0.29×0.25×0.21  | 0.23×0.21×0.15  |
| $\theta$ range for data collection / (°)            | 2.44 to 27.42   | 1.77 to 25.00   |
| Limiting indices                                    | -10≤ <i>h</i> ≤9; -14≤ <i>k</i> ≤14; -16≤ <i>l</i> ≤16          | -11≤ <i>h</i> ≤11; -16≤ <i>k</i> ≤16; -19≤ <i>l</i> ≤23         |
| Reflections collected / unique                      | 10 219/4 993 ( <i>R</i> <sub>int</sub> =0.022 3)                | 20 805/4 873 ( <i>R</i> <sub>int</sub> =0.022 1)                |
| Data / restraints / parameters                      | 4 993/167/286   | 4 873/63/296  |
| Goodness of fit on <i>F</i> <sup>2</sup>            | 1.038   | 1.072   |
| Final <i>R</i> indices [ <i>I</i> >2σ( <i>I</i> )]  | <i>R</i> <sub>1</sub> =0.052 9, <i>wR</i> <sub>2</sub> =0.138 7 | <i>R</i> <sub>1</sub> =0.054 0, <i>wR</i> <sub>2</sub> =0.161 9 |
| Largest diff. peak and hole / (e·nm <sup>-3</sup> ) | 875 and -443  | 967 and -417  |

#### 1.4 体外抗癌活性测试

采用四氮唑盐还原法(MTT 法)测定配合物对人癌细胞 Colo205、HepG2、MCF-7、HeLa、NCI-H460 增殖的抑制活性。实验分为药物试验组(分别加入不同浓度的测试药)、对照组(只加培养液和细胞,不加测试药)和空白组(只加培养液,不加细胞和测试药)。取处于对数生长期的肿瘤细胞,加入适量的 Trypsin 消化,使贴壁细胞脱落,用含 10% 胎牛血清的 RPMI-1640 培养液在含 5%(体积分数)CO<sub>2</sub>、饱和湿度培养箱内于 37 °C 下培养。取 96 孔板,将测试药液(0.1 nmol·L<sup>-1</sup>~10 μmol·L<sup>-1</sup>)按浓度梯度分别加入至各孔中,每个浓度设 6 个平行孔,于前述培养箱条件下培养 72 h,然后每孔加 MTT 40 μL(用 D-Hanks 缓冲液配成 4 mg·mL<sup>-1</sup>),继续培养 4 h,移去上清液,每孔

加 DMSO 150 μL,振荡 5 min,使甲瓒结晶充分溶解,利用 Ap22 Speedy 全自动酶免分析系统在 570 nm 波长处检测各孔的光密度。对照药物(卡铂)的活性按照配合物的活性测试方法测定。实验数据应用 Graph Pad Prism 5.0 统计软件分析,通过存活率百分比数据相对于药物浓度的非线性回归分析(曲线拟合),用 S 形剂量响应(变量)方程确定 IC<sub>50</sub> 值。

## 2 结果与讨论

### 2.1 配合物的谱学研究

配体与对应配合物的红外光谱特征显示,配体在 2 500~3 300 cm<sup>-1</sup> 处的羧羟基结合吸收峰,在其配合物中消失,表明羟基去质子化与锡原子发生配位。**1** 在 2 916、2 845 cm<sup>-1</sup> 和 **2** 在 2 916、2 847 cm<sup>-1</sup>

处的强吸收峰,归属为环己基的特征吸收峰<sup>[1-2,10]</sup>。呋喃-2-甲酸在 1686、1304 cm<sup>-1</sup> 和 2,4,6-三甲基苯甲酸在 1 686、1 300 cm<sup>-1</sup> 的羰基不对称与对称伸缩振动,配合物中分别向低频和高频区迁移,**1** 中出现在 1 624、1 337 cm<sup>-1</sup> 处,**2** 中出现 1 636、1 319 cm<sup>-1</sup> 处,两者之差  $\Delta\nu$  为 287 cm<sup>-1</sup> **1** 和 317 cm<sup>-1</sup> **2**,表明配合物中羧基均为单齿配位<sup>[18]</sup>。**1** 在 581、473 cm<sup>-1</sup> 和 **2** 在 571、444 cm<sup>-1</sup> 分别出现 Sn-C、Sn-O 键的伸缩振动吸收<sup>[19]</sup>。

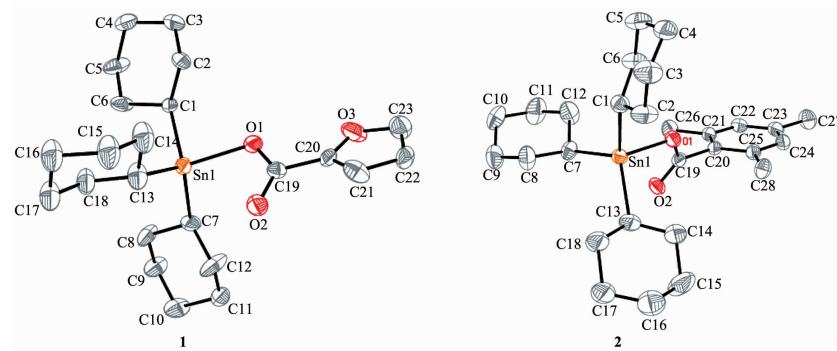
配合物的 <sup>1</sup>H NMR 谱中,各组峰的积分面积之比与相应的各组质子数之比基本吻合。呋喃-2-甲酸在 12.36 和 2,4,6-三甲基苯甲酸在 12.25 处的羟基质子峰,在其配合物中消失,进一步表明 **1** 和 **2** 的形成。**1** 在 6.45~7.51 之间的多重峰和 **2** 在 6.83 的单峰,归属为芳环质子吸收峰<sup>[3,5,12]</sup>,较相应配体移向高场,其原因是羧基与锡配合后、拉电子效应减弱,芳

环电荷密度增加、屏蔽作用增强。**1** 在 1.30~2.01 和 **2** 在 1.31~2.01 范围内的多重吸收,对应于环己基氢峰<sup>[11,13,18]</sup>。配合物的 <sup>13</sup>C NMR 谱中,环己基碳呈现 4 条谱线,出现在 26.92~34.27 (**1**) 和 26.99~34.14 (**2**) 之间<sup>[1,15]</sup>;芳环碳原子出现在 111.45~146.82 (**1**) 和 128.48~138.06 (**2**) 范围内<sup>[3,4]</sup>。

## 2.2 晶体结构分析

在配合物的结构解析过程中,对无序的环己基通过设置自由变量精修进行了无序的处理,在此基础上分别限制相邻的 C-C 键长和间隔一个 C 原子的 2 个 C 原子之间的距离、使其在合理的范围内,并强制无序的原子对具有相同的原子位移因子进行精修。

配合物的分子结构见图 1,主要键长和键角列于表 2。从分子结构图和结构参数可知,配合物 **1** 和 **2** 的中心锡原子均为四面体构型,两个化合物的中



Second sites of disordered parts are omitted for clarity.

图 1 配合物的分子结构图

Fig.1 Molecular structures of complex **1** and **2** with 15% probability ellipsoids

表 2 配合物的主要键长和键角

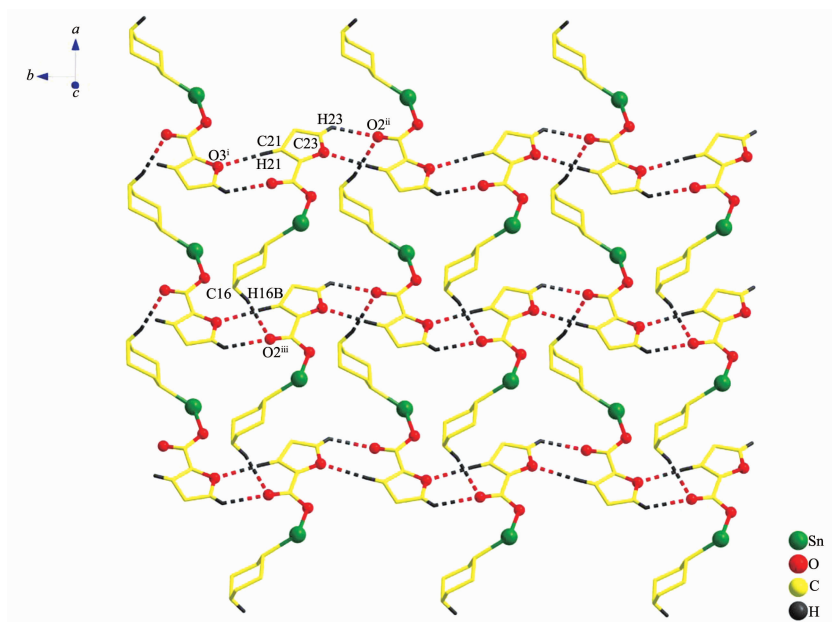
Table 2 Selected bond lengths (nm) and angles (°) for the complexes

| Complex        | <b>1</b>   | <b>2</b>   |
|----------------|------------|------------|
| Sn1-O1         | 0.208 8(6) | 0.206 5(4) |
| Sn $\cdots$ O2 | 0.283 4    | 0.291 2    |
| Sn1-C1         | 0.222 9(8) | 0.216 3(6) |
| Sn1-C7         | 0.218 0(6) | 0.213 9(5) |
| Sn1-C13        | 0.215 9(8) | 0.215 6(6) |
|                |            |            |
| O1-Sn1-C1      | 90.4(3)    | 97.3(2)    |
| O1-Sn1-C7      | 102.7(3)   | 108.47(19) |
| O1-Sn1-C13     | 118.0(3)   | 106.8(2)   |
| C7-Sn1-C1      | 106.9(4)   | 111.8(3)   |
| C13-Sn1-C1     | 117.0(4)   | 116.8(3)   |
| C13-Sn1-C7     | 117.7(5)   | 113.9(3)   |

心结构类似,但它们所对应的键参数有较明显差异。配合物 $\mathbf{1}$ 中的3个Sn-C键长最大差值为0.007 nm,而 $\mathbf{2}$ 的3个Sn-C键长最大差值只有0.002 nm。锡原子与配位羧基氧的距离Sn(1)-O(1)分别为0.208 8 nm( $\mathbf{1}$ )和0.206 5 nm( $\mathbf{2}$ ),均小于Sn-C键长,比类似化合物的Sn-O键还短<sup>[20,21]</sup>,表明配合物中Sn(1)与O(1)原子间形成了稳定的配键。两化合物中,3组对应的 $\angle C(n)\text{-Sn}(1)\text{-O}(1)$ 角差异更为明显,均明显地偏离

正四面体的109.5°,说明中心锡均为畸变四面体构型,且 $\mathbf{1}$ 比 $\mathbf{2}$ 变形更明显。

如图2所示,配合物 $\mathbf{1}$ 的晶体中,存在着较丰富的氢键作用(键参数列于表3),一分子呋喃甲酸的呋喃环H与相邻呋喃甲酸分子的呋喃环O、另一相邻呋喃甲酸分子的羰基O分别形成氢键,组成一维带状结构。两相邻带状链间,经环己基H与另链羰基O之间的氢键作用,进一步扩展成二维网状。



Symmetry codes: <sup>i</sup>  $2-x, 1/2+y, -z$ ; <sup>ii</sup>  $2-x, -1/2+y, -z$ ; <sup>iii</sup>  $-1+x, y, z$ ; Some cyclohexyl groups are omitted for clarity

图2 氢键构筑的配合物 $\mathbf{1}$ 二维结构

Fig.2 2D structure of complex **1** by hydrogen bonding interactions

表3 配合物 $\mathbf{1}$ 的氢键数据

Table 3 Parameters of hydrogen bonding interactions in complex **1**

| D-H…A                      | $d(\text{D}\cdots\text{H})/\text{nm}$ | $d(\text{H}\cdots\text{A})/\text{nm}$ | $d(\text{D}\cdots\text{A})/\text{nm}$ | $\angle \text{DHA}/(^{\circ})$ |
|----------------------------|---------------------------------------|---------------------------------------|---------------------------------------|--------------------------------|
| C21-H21…O3 <sup>i</sup>    | 0.093 0                               | 0.254 5                               | 0.3469 3                              | 172.51                         |
| C23-H23…O2 <sup>ii</sup>   | 0.093 0                               | 0.248 8                               | 0.3187 3                              | 132.17                         |
| C16-H16B…O2 <sup>iii</sup> | 0.097 0                               | 0.259 2                               | 0.3532 9                              | 163.56                         |

Symmetry codes: <sup>i</sup>  $2-x, 1/2+y, -z$ ; <sup>ii</sup>  $2-x, -1/2+y, -z$ ; <sup>iii</sup>  $-1+x, y, z$

### 2.3 热稳定性分析

为了研究配合物的热稳定性,在氮气氛下、以10 °C·min<sup>-1</sup>的升温速率,于50~400 °C范围内进行实验,测得配合物 $\mathbf{1}$ 和 $\mathbf{2}$ 的热重分析曲线如图3所示。随着温度的上升,两配合物均出现了较为明显的失

重过程:配合物 $\mathbf{1}$ 在190~295 °C范围内,总重量损失了72.3%;配合物 $\mathbf{2}$ 在220~340 °C范围内,总重量损失了74.0%。假定残渣对应的成分是SnO<sub>2</sub>,理论计算值分别为31.4%( $\mathbf{1}$ )和28.4%( $\mathbf{2}$ ),实测值与计算值基本一致。热重分析显示:配合物 $\mathbf{1}$ 和 $\mathbf{2}$ 具有较好的热

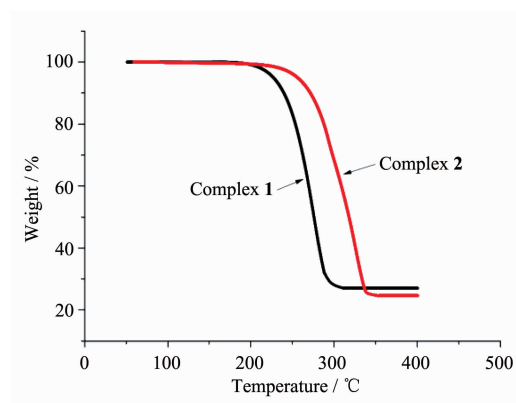


图3 配合物的热重分析曲线

Fig.3 Thermogravimetric analysis curves of complex 1 and 2

稳定性,分别在190、220 °C以下可以稳定存在,且2比1的热稳定性更好。

## 2.5 体外抗肿瘤活性

配合物的体外抗癌活性测试结果列于表4。由表中数据可知,配合物1和2对人癌细胞Colo205、HepG2、MCF-7、HeLa、NCI-H460增殖均有较高的抑制活性。配合物1对人宫颈癌细胞的抑制效果最好,其次是对人乳腺癌细胞和人肺癌细胞,具有几乎等同的抑制效果,对人结肠癌细胞的抑制作用稍弱,对人肝癌细胞的抑制活性更次之。配合物2对人肝癌细胞的抑制活性最强,其次是对人结肠癌细胞,对上述2种癌细胞的抑制活性均高于1,也明显高于临床使用的卡铂;对人宫颈癌细胞、人肺癌细胞、人乳腺癌细胞的抑制活性依次减弱,对这3种癌细胞的抑制效果较1弱,但仍远高于卡铂。配合物体外抗癌活性的测试结果表明,配合物1和2可能具有一定药用价值。

表4 配合物1、2和卡铂对肿瘤细胞的半抑制率

Table 4 IC<sub>50</sub> ( $\mu\text{mol}\cdot\text{mL}^{-1}$ ) of complex 1, 2 and carboplatin on tumor cells

| Complex     | Colo205 | HepG2  | MCF-7   | HeLa     | NCI-H460 |
|-------------|---------|--------|---------|----------|----------|
| 1           | 0.633 2 | 1.274  | 0.192 4 | 0.089 21 | 0.195 5  |
| 2           | 0.125 7 | 0.246  | 1.798   | 1.57     | 1.745    |
| carboplatin | 0.531 4 | 0.6139 | 26.83   | 24.78    | 62.13    |

## 参考文献:

- [1] GONG Gen-Feo(龚根飞), SONG Ran(宋冉), ZOU Ying-Bo(邹引波), et al. *Chinese J. Org. Chem.*(有机化学), **2013**,**33**(4):803-807
- [2] Salam M A, Affan M A, Arafat M A, et al. *Heteroatom Chemistry*, **2013**,**24**(1):43-52
- [3] Hussain M, Rehman Z, Hanif M, et al. *Appl. Organomet. Chem.*, **2011**,**25**:412-419
- [4] Hong M, Yin H, Zhang X, et al. *J. Organomet. Chem.*, **2013**,**724**:23-31
- [5] Du D, Jiang Z, Liu C, et al. *J. Organomet. Chem.*, **2011**,**696**:2549-2558
- [6] Gajda T, Janesó A. *Met. Ions Life Sci.*, **2010**,**7**:111-151
- [7] Gielen M. *Coordin. Chem. Rev.*, **1996**,**151**:41-51
- [8] Han G, Yang P. *J. Inorg. Biochem.*, **2002**,**91**:230-236
- [9] Gielen M, Biesemans M, Vos D D, et al. *J. Inorg. Biochem.*, **2000**,**79**:139-145
- [10] ZHONG Gui-Yun(钟桂云), LIU Qing-Fu(刘清福), SUN Li-Juan(孙丽娟), et al. *Chinese J. Org. Chem.*(有机化学), **2011**,**31**(5):728-732
- [11] LI Qing-Shan(李青山), LI Ting-Fang(李庭芳), YANG Hui-Yuan(杨慧元), et al. *Acta Pharmaceutica Sinica*(药学学报), **2000**,**35**(9):659-662
- [12] Sun M L, Ruan B F, Zhang Q, et al. *J. Organomet. Chem.*,

## 2011,696:3180-3185

- [13] ADAMA Moussa Sakho(阿达玛), DU Da-Feng(杜大峰), ZHU Dong-Sheng(朱东升), et al. *Chinese J. Inorg. Chem.*(无机化学学报), **2011**,**27**(1):107-113
- [14] Sherman L R, Huber F. *Appl. Organomet. Chem.*, **1988**,**2**:65-72
- [15] Tian L, Qian B, Sun Y, et al. *Appl. Organomet. Chem.*, **2005**,**19**:980-987
- [16] CHEN Xiao-Ming(陈小明), CAI Ji-Wen(蔡继文). *Crystal Structure Analysis: Principles and Practice*: Second Edition(单晶结构分析原理与实践). Beijing: Science Press, **2007**:212-222
- [17] Müller P, Spek R H I A L, Schneider T R, et al. *Crystal Structure Refinement-A Crystallographer's Guide to SHELXL*. New York: Oxford University Press, **2006**:63-96
- [18] LUO Ning(罗宁), SUN Li-Juan(孙丽娟), LIU Zhi-Zhong(刘治中), et al. *Chinese J. Appl. Chem.*(应用化学), **2000**,**17**(2):154-158
- [19] KE Yi-Kan(柯以侃), DONG Hui-Ru(董慧茹). *Analysis Chemistry handbook*: Vol.3(分析化学手册:第三分册). Beijing: Chemical Industry Press, **1998**:932-935
- [20] Gómez-Ruiz S, Kaluderovic' G N, Prashar S, et al. *J. Inorg. Biochem.*, **2008**,**102**:2087-2096
- [21] Chandrasekhar V, Baskar V, Boomishankar R, et al. *Organometallics*, **2003**,**22**:3710-3716